

Численное решение задачи формирования изображения в двух плоскостях с использованием интегральной формулы Френеля.

Рассмотрим задачу о построении фазового плоского оптического элемента, расположенного в плоскости $Z=0$, формирующего, при освещении его плоской волной от когерентного источника с длиной волны λ , в двух плоскостях, $Z=f_1$ и $Z=f_2$, различные, наперед заданные изображения с амплитудами A_1 и A_2 соответственно.

Будем рассматривать математическую постановку задачи, используя скалярное волновое приближение.

Пусть на оптический элемент расположенный в плоскости $Z=0$ падает плоская волна от когерентного источника с длиной волны λ , амплитуда которой описывается функцией $A_0(x,y)$. Тогда после прохождения элемента формируется волновое поле

$$u(x, y, 0+) = A_0(x, y) \exp\{ik\phi_0(x, y)\},$$

где $\phi_0(x, y)$ – функция, характеризующая оптический фазовый элемент. Заметим, что существуют технологии, позволяющие реализовать подобные фазовые элементы в оптическом диапазоне длин волн.

Мы будем интересоваться величиной амплитуды волнового поля, сформированного в двух плоскостях $Z=f_1$ и $Z=f_2$, считая, что распространение излучения в области $Z>0$ подчиняется интегральной формуле Френеля

$$u(x, y, z) = \Phi(u)(x, y, z) = \frac{k}{2\pi z} \iint_G u(\xi, \eta, 0+) \exp\left[ik \frac{(x-\xi)^2 + (y-\eta)^2}{2z}\right] d\xi d\eta$$

где область G – апертура падающего излучения, т.е. $u(x, y, +0)=0$ вне G .

Таким образом, наша задача сводится к следующему:

требуется найти функцию $\phi_0(x, y) \in \Phi(G)$, где $\Phi(G)$ – множество допустимых фазовых функций, формирующую в плоскости $Z=f_1$ волновое поле $u(x, y, f_1)$ с наперед заданной амплитудой $A_1(x, y) = |u(x, y, f_1)|$ и, одновременно, в плоскости $Z=f_2$ волновое поле $u_2(x, y, f_2)$ с амплитудой $A_2(x, y) = |u(x, y, f_2)|$, где функция $u(x, y, z)$ определяется интегралом Френеля.

Множество $\Phi(G)$ описывает фазовые функции на которые наложены ограничения как вычислительного, так и чисто технологического свойства. Мы будем рассматривать кусочно-постоянные функции $\Phi(G)$ принадлежащие двум основным классам:

1. Бинарные фазовые элементы, допускающие лишь два значения функции $\phi_0(x, y) = 0, \phi_0(x, y) = \lambda/2$. Значение $\phi_0(x, y) = \lambda/2$ соответствует набегу фазы равному $\lambda/2$. Обозначим этот класс $\Phi_2(G)$. Искомая функция $\phi_0(x, y)$ в силу технологических ограничений должна принадлежать именно этому классу допустимых фазовых функций.

2. “Непрерывные” фазовые элементы, допускающие M значений функции $\phi_0(x, y)$. $(\phi_0(x, y) = \phi_i, \phi_i = \frac{\lambda}{4M} * i, i = -M/2, M/2; -\lambda/2 \leq \phi_0(x, y) \leq \lambda/2)$. В рассматриваемом случае $M=256$. Этот класс обозначим $\Phi_M(G)$.

Приближенное численное решение поставленной задачи будем строить

опираясь на:

1. Хорошо известный факт тесной связи интегральных формул Френеля и Фурье (см. например [1])

$$\Phi\{u\}(x, y, z) = \frac{k}{z} \exp\left\{ik \frac{x^2 + y^2}{2z}\right\} F\left\{u(\xi, \eta, 0+) \exp\left\{ik \frac{\xi^2 + \eta^2}{2z}\right\}\right\} \left(\frac{x}{z}, \frac{y}{z}\right) \quad (1)$$

где

$$F\{v\}(x, y) = \frac{1}{2\pi} \iint_G v(\xi, \eta) \exp\{-ik(x\xi + y\eta)\} d\xi d\eta$$

- преобразование Фурье функции $v(\xi, \eta)$.

2. Необходимости получения искомой функции $\phi_0(x, y)$ из класса $\Phi_2(G)$.

Перейдем к описанию алгоритма.

Рассмотрим две взаимосвязанные задачи: задачу $I_{FOURIER}$ о формировании заданной амплитуды волнового фронта в приближении интеграла Фурье (что соответствует формированию изображения в дальней зоне, т.е. при $Z=\infty$):

Найти функцию $\phi_\infty(x, y) \in \Phi_M(G)$ такую, что :

$$u_0^{FOURIER}(x, y, 0+) = A_0(x, y) \exp\{ik\phi_\infty(x, y)\}$$

$$u^{FOURIER}(x, y, +\infty) = \frac{1}{2\pi} \iint_G u_0^{FOURIER}(\xi, \eta, 0+) \exp\{-ik(x\xi + y\eta)\} d\xi d\eta$$

$$|u^{FOURIER}(x, y, +\infty)| = A_\infty(x, y)$$

и задачу I_{FREN} о формировании заданной амплитуды волнового фронта в приближении интеграла Френеля (что соответствует формированию изображения в плоскости, отстоящей от плоскости элемента на фиксированное фокусное расстояние $Z=f$).

Найти функцию $\phi_f(x, y) \in \Phi_M(G)$ такую, что :

$$u^{FREN}(x, y, 0+) = A_0(x, y) \exp\{ik\phi_f(x, y)\}$$

$$u^{FREN}(x, y, f) = \frac{k}{2\pi f} \iint_G u^{FREN}(\xi, \eta, 0+) \exp\left\{ik \frac{(x-\xi)^2 + (y-\eta)^2}{2f}\right\} d\xi d\eta$$

$$|u^{FREN}(x, y, f)| = A_f(x, y)$$

Если нам удалось найти решение задачи $I_{FOURIER}$ функцию $\phi_f(x, y)$, тогда согласно формуле (1) мы получаем

$$\varphi_f(x, y) = \varphi_\infty(x, y) - k \frac{x^2 + y^2}{2f} \quad (2)$$

Задача $I_{FOURIER}$ может быть достаточно эффективно решена с помощью различных подходов [2]. Решая эту задачу численными методами, используя начальные данные $A_0(x, y)$, $A_1(x, y)$ и $A_2(x, y)$, мы получим две различные функции $\varphi_1(x, y)$ и $\varphi_2(x, y)$. Пересчитывая эти функции по формуле (2) можно получить $\varphi_1(x, y)$ и $\varphi_2(x, y)$ - фазовые функции, формирующие требуемые изображения в плоскостях $Z=f_1$ и $Z=f_2$ соответственно.

Далее воспользуемся тем, что фазовая функция, которую требуется построить

принадлежит классу $\Phi_2(G)$. В результате численного решения задачи $I_{FOURIER}$, функции $\phi_1(x,y)$ и $\phi_2(x,y)$ принадлежат множеству $\Phi_M(G)$. Искомую функцию $\phi_0(x,y)$ будем строить с помощью специального оператора проектирования на множество $\Phi_2(G)$.

Его можно строить различными способами, например оператор $P_1(\phi_1, \phi_2)$:
Можно также рассматривать оператор $P_2(\phi_1, \phi_2)$:

$$\phi_0^2(x,y) = P_2(\phi_1, \phi_2) = \begin{cases} 0, -\frac{\lambda}{4} \leq \frac{\phi_1 + \phi_2}{2} \leq \frac{\lambda}{4}; \\ \lambda/2, -\frac{\lambda}{2} \leq \frac{\phi_1 + \phi_2}{2} < -\frac{\lambda}{4}, \frac{\lambda}{4} < \frac{\phi_1 + \phi_2}{2} \leq \frac{\lambda}{2}; \end{cases}$$

Для исследования эффективности предложенного алгоритма был проведен ряд численных экспериментов.

Поставленная задача решалась для следующих амплитуд:

98

Рис.1. Амплитуда изображения в плоскости $Z=f_1$.

RUS

Рис.2. Амплитуда изображения в плоскости $Z=f_2$.

Амплитуда падающего излучения считалась равной константе. Длина волны излучения $\lambda=0.63\text{мкм}$. Апертура падающего фронта - 0.9 мм. Фокусное расстояние - $f_1=0.5\text{см}$, $f_2=1\text{см}$.

В качестве результатов численного моделирования приведем распределение интенсивности излучения в двух фокальных плоскостях (см. рис.3(а,б)).

С помощью численного моделирования прямого преобразования Френеля можно вычислить значения невязки, полученные при использовании оператора P_1 и P_2 в каждой из плоскостей $Z=f_1, Z=f_2$, например, по формуле.

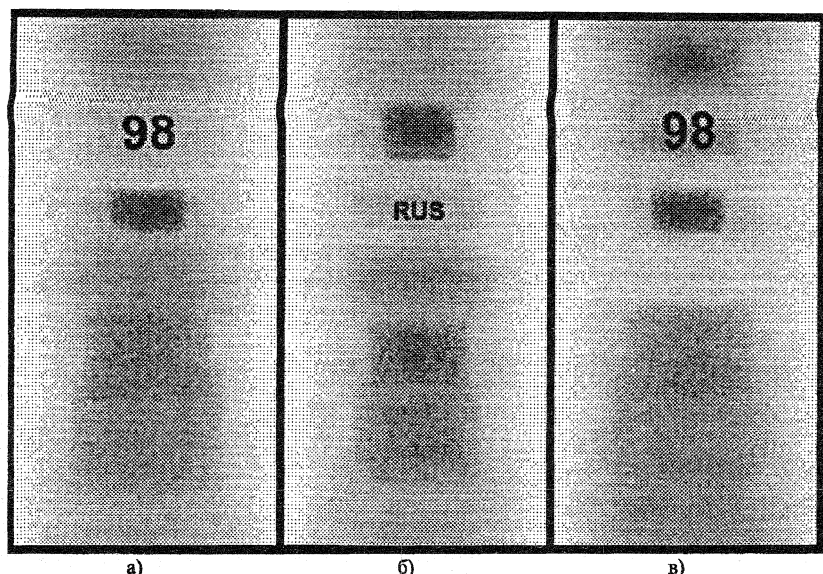
$$E(f) = \iint_G |u(\xi, \eta, f) - A_f|^2 d\xi d\eta$$

Как показали расчеты, оператор P_1 оказывается предпочтительнее, так как значения соответствующих невязок оказываются практически одинаковыми, при этом в "существенной" области амплитуда изображения, полученная с помощью оператора P_1 оказывается лучше (см. рис.3(а,в)).

Настоящая работа выполнялась совместно с научно-техническим центром "АТЛАС" при ФАПСИ, владеющего технологией изготовления подобных оптических элементов. Это позволило изготовить полученный бинарный фазовый оптический элемент с помощью электронно-лучевой литографии.

Результаты экспериментов по освещению оптического элемента лазерным источником с длиной волны $\lambda=0.63$ микрона подтвердили результаты численного

моделирования и показали достаточно хорошую для рассматриваемого класса оптических элементов фокусировку изображений в обеих плоскостях.



- Рис.3. а) Распределение интенсивности излучения в плоскости $Z=f_1$.
б) Распределение интенсивности излучения в плоскости $Z=f_2$.
в) Распределение интенсивности излучения в плоскости $Z=f_2$.
Фазовая функция получена с помощью оператора P_2 .

Литература.

1. Гончарский А.В., Попов В.В., Степанов В.В. Введение в компьютерную оптику. Москва, изд-во МГУ, 1991г., 312с.
- 2.F.Wyrowski and O.Bryngdahl, "Iterative Fourier-transform algorithm applied to computer holography," J.Opt.Soc.Am.A 5,1058-1065 (1988).